

## SSLA311 – Fissure circulaire soumise a une charge annulaire

---

### Résumé :

Ce cas test traite le cas d'une fissure interne située au centre d'un barreau circulaire, en mode axisymétrique. La particularité du chargement est que la charge linéique s'applique a un anneau très proche du fond de fissure. Le paramètre fixe est le rayon de la fissure  $a$ , et le paramètre à explorer est le rayon d'application de la charge  $c$ . Le milieu est élastique, linéaire, homogène et isotrope. Le domaine géométrique est supposé illimité en  $r$  et  $z$ .

Les maillages doivent donc tenir compte de la proximité de la charge de telle manière à respecter le pont d'application de la charge.

La charge étant normale a la fissure, nous calculons le coefficient caractéristique de la mécanique de la rupture  $K$  en mode  $I$  pur. Puis, nous utilisons la formule d'Irwin en déformation planes pour en déduire  $G$ .

Ceci constitue bien entendu une approximation.

## 1 Problème de référence

### 1.1 Géométrie

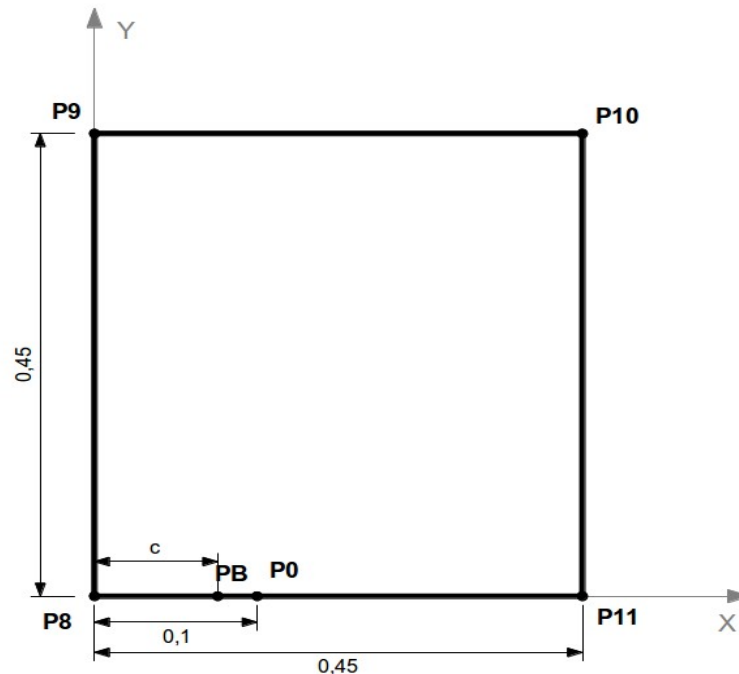


Figure 1.1 Géométrie du problème

### 1.2 Propriétés du matériau

Module d'Young	$E = 2 \times 10^{11} \text{ Pa}$
Coefficient de Poisson	$\nu = 0.3$

### 1.3 Conditions aux limites et chargements

Le point  $PB$  sert à l'application de la force  $F_Y$ .

La position du point  $PB$  est différente selon les modélisations, et est gérée par le paramètre  $C$ .

La distance  $a$  séparant les points  $P8$  et  $P0$  est un paramètre constant ( $a = 0,1$ ).

Dans les différentes modélisations, on modifie le ratio  $c/a$ .

La lèvres de la fissure est la droite  $P8P0$ .  $P0$  est donc le front de fissure.

Pour toutes les modélisations (A, B, C et D):

Déplacement imposé:

Encastrement du côté $P8P9$	$DX = 0$
Encastrement du côté $P0P11$	$DY = 0$

Chargement imposé :

Force Nodale sur le point  $PB$

$$F_y = 159,15 \times 10^6 \text{ N}$$

Seule la position du point  $PB$  , et le maillage qui en découle sont différents entre les modélisations (la taille du rayon du maillage rayonnant en fond de fissure est différent selon les modélisations).

## 2 Solution de référence

---

### 2.1 résultat de référence

La valeur de G qui sert de solution de référence est extraite d'une publication de Y. MURAKAMI :  
« Stress Intensity Factor » (case 9.12)

### 2.2 Références bibliographiques

- 1) Y. MURAKAMI : Stress Intensity Factor ,case 9.12.  
The Society of Materials Science, Japan, Pergamon Press 1987.

## 3 Modélisation A

### 3.1 Caractéristiques de la modélisation A

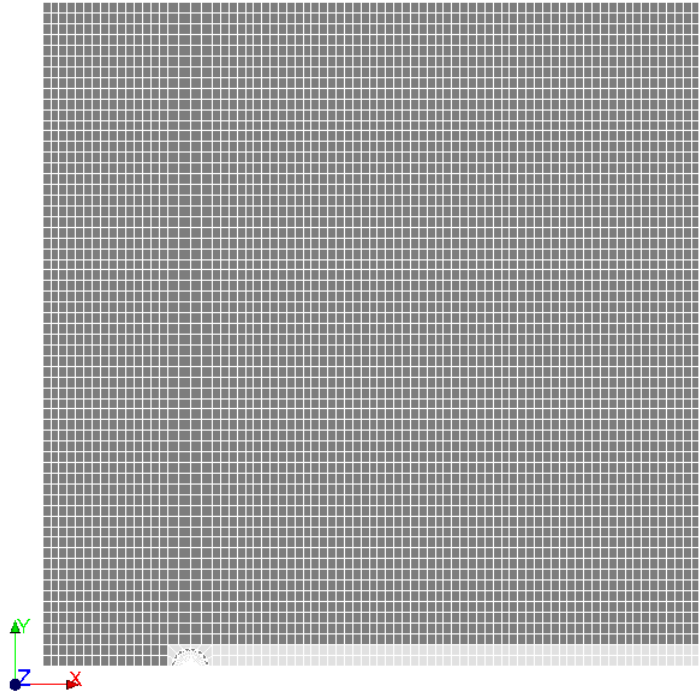


Figure 3.1 Maillage de la modélisation A

Modélisation `AXIS`.

Point d'application de la force  $PB$  ( paramètre  $C$  ) = 0,09

### 3.2 Caractéristiques du maillage

Rayon du maillage rayonnant en fond de fissure (point  $P0$  ) = 0,01

Nombre de nœuds : 15209

Nombre de mailles et types : 4986 `QUAD8`

### 3.3 Grandeurs testées et résultats

Grandeur	Valeur de référence	Type de référence	Tolérance (%)
G	$7,72 E-5$	NON-DEFINI	0,02

## 4 Modélisation B

### 4.1 Caractéristiques de la modélisation B

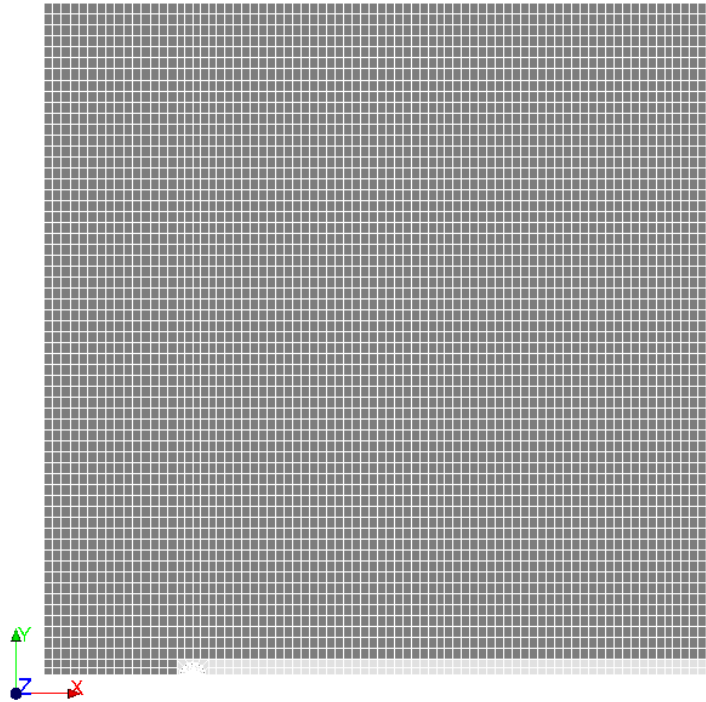


Figure 4.1 Maillage de la modélisation B

Modélisation `AXIS`.

Point d'application de la force  $PB$  ( paramètre  $C$  ) = 0,093

### 4.2 Caractéristiques du maillage

Rayon du maillage rayonnant en fond de fissure (point  $P0$  ) = 0,007

Nombre de nœuds : 15209

Nombre de mailles et types : 4986 `QUAD8`

### 4.3 Grandeurs testées et résultats

Grandeur	Valeur de référence	Type de référence	Tolérance (%)
G	$1,08619 E - 4$	NON-DEFINI	0,01

## 5 Modélisation C

### 5.1 Caractéristiques de la modélisation C

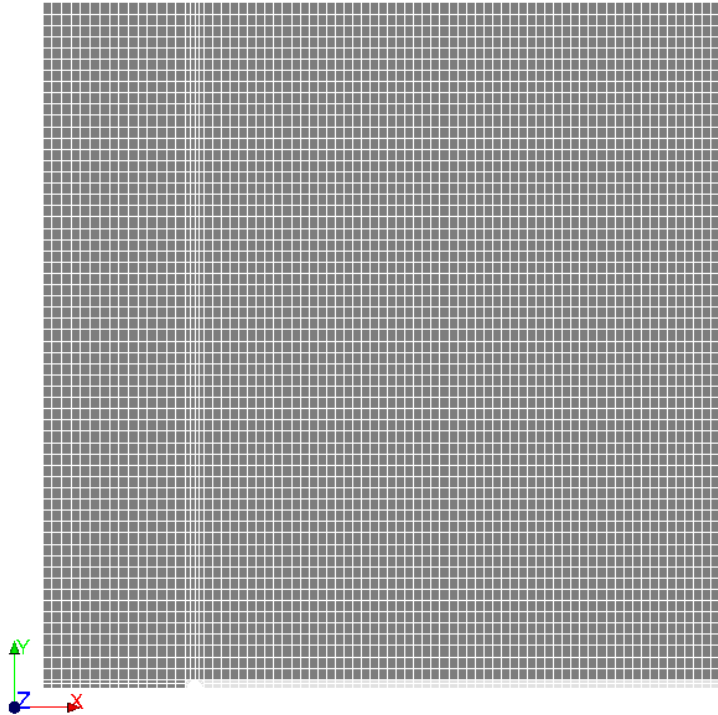


Figure 5.1 Maillage de la modélisation C

Modélisation `AXIS`.

Point d'application de la force  $PB$  ( paramètre  $C$  ) = 0,096

### 5.2 Caractéristiques du maillage

Rayon du maillage rayonnant en fond de fissure (point  $P0$  ) = 0,004

Nombre de nœuds : 15209

Nombre de mailles et types : 4986 `QUAD8`

### 5.3 Grandeurs testées et résultats

Grandeur	Valeur de référence	Type de référence	Tolérance (%)
G	$1,87174 E-4$	NON-DEFINI	0,01

## 6 Modélisation D

### 6.1 Caractéristiques de la modélisation D

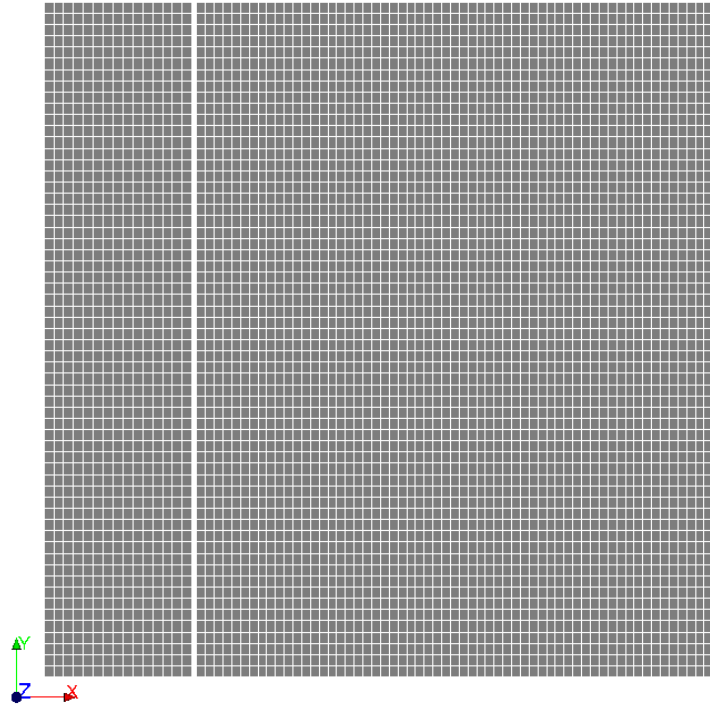


Figure 6.1 Maillage de la modélisation D

Modélisation `AXIS`.

Point d'application de la force `PB` ( paramètre `C` ) = 0,099

### 6.2 Caractéristiques du maillage

Rayon du maillage rayonnant en fond de fissure (point `P0` ) = 0,001

Nombre de nœuds : 15209

Nombre de mailles et types : 4986 `QUAD8`

### 6.3 Grandeurs testées et résultats

Grandeur	Valeur de référence	Type de référence	Tolérance (%)
G	$7,37409 E - 4$	NON-DEFINI	0,02



## 7 Synthèse des résultats

---

Sur ces 4 modélisations, on retrouve numériquement la solution exposée par Y. MURAKAMI.  
L'écart maximal entre la solution de référence et la solution calculée par `CODE_ASTER` est de 0,02 %.

Ce test valide l'utilisation des opérateurs de `RUPTURE` sur des modélisations axisymétriques.

## 8 Remarques

---

Il est nécessaire de prendre des précautions pour l'emploi du mot-clef `FORCE_NODALE` de la commande `CALC_G_THETA`. La charge crée un champ de contrainte singulier au voisinage de son point d'application. Dans le cas particulier que nous traitons, où la charge est proche du fond de fissure, donc des couronnes, le rayon supérieur de la couronne de calcul de  $G$  ne doit pas atteindre le champ singulier créé par la charge (au risque d'avoir des résultats faux).